

А. М. СИМОНЯН

К ВОПРОСУ О НЕИЗОТЕРМИЧЕСКОЙ ПОЛЗУЧЕСТИ ХРОМО-НИКЕЛЕВОЙ СТАЛИ

Как известно, многие конструкции из нержавеющих сталей эксплуатируются в условиях переменных во времени температур и напряжений. В связи с этим актуальным представляется вопрос о предсказании ползучести в нестационарных условиях. В работах [1—5] приведены результаты исследований ряда металлов при постоянных напряжениях и непрерывно или циклически изменяющихся температурах в сравнении с данными гипотезы уравнения состояния. В настоящей работе делается попытка сформулировать некоторые теоретические предпосылки неизотермической ползучести в применении к схеме Эндрея [6], а также проверить их экспериментально для случая ступенчато-изменяющихся температур одноосно растянутых цилиндрических образцов из стали X18H10T. В качестве теоретических предпосылок здесь взяты: 1) гипотеза уравнения состояния [7, стр. 196], 2) вариант теории Малинина-Хажинского [8], 3) видоизмененное уравнение нелинейной теории наследственности.

1. Методика экспериментальных исследований

Опыты проведены на испытательной машине Zst 502.10 Рауэнштайн. Образцы $\varnothing 8\text{ mm}$ вытаскивались из прутков $\varnothing 15\text{ mm}$ стали X18H10T при непрерывной подаче масла на обрабатываемую поверхность с целью уменьшения нагрева образца в процессе его обработки. Точность измерения деформаций, обеспечиваемая с помощью оптического устройства, составляет $0.5 \cdot 10^{-5}$. Эксперименты производились при «ступенчатом» изменении температур, при этом температура на каждой ступени была колеблющейся $\pm 2^\circ\text{C}$ с периодом около 2 минут. Как показано в работе [9], факт таких незначительных колебаний температуры несущественно отражается на ползучести металлов. «Ступенчатое» изменение температуры в печи осуществлялось при постоянном напряжении и в течение 20—30 минут, при этом максимальная скорость изменения температуры не превышала $4^\circ/\text{мин}$.

При одновременном «ступенчатом» изменении напряжений и температур изменение напряжений при их уменьшении осуществлялось до изменения температуры, а при их увеличении — после. Изменение напряжений осуществлялось плавно в течение ~ 0.5 минут при недопущении динамических эффектов.

Вследствие того, что в процессе изменения температуры образец, как, впрочем, и зажимные измерительные шины, претерпевал деформации теплового расширения, отдельно снималась кривая изменения отчетов у ненагруженных образцов при соответственном изменении температуры; действительные кривые ползучести определялись путем вычитывания этих изменений от экспериментальных отчетов ползучести. Приведенные экспериментальные кривые являются усредненными из 8-12 испытаний образцов.

2. О ползучести при постоянных напряжениях и температурах

Исследования проведены при температурах 600—700°C и напряжениях 0.15—0.25 R (R — кратковременная прочность при 20°C и при скорости деформирования 4%/мин, равная 6200 кг/см²). Почти во всех проведенных опытах отчетливо проявлялись первые две стадии ползучести. Как и в [10], наиболее точным аналитическим представлением деформации в зависимости от времени оказывается следующее:

$$\varepsilon(t) = \varepsilon_0 + \beta(1 - e^{-\gamma t}) + \alpha t \quad (2.1)$$

где ε_0 , β и α являются зависимыми от температуры и действующего напряжения, а γ — от температуры.

Уравнение (2.1) имеет тот недостаток, что обобщение его на случай переменных напряжений и температур, согласно рассматриваемым ниже теориям, оказывается затруднительным. Этого недостатка лишено уравнение (2.2)

$$\varepsilon(t) = \varepsilon_0 + \frac{\beta}{\ln\left(1 + \frac{\beta\gamma}{\alpha}\right)} \ln \left[\left(1 + \frac{\beta\gamma}{\alpha}\right)^{1 + \frac{\alpha t}{\beta}} - \frac{\beta\gamma}{\alpha} \right] \quad (2.2)$$

Кривые ползучести, построенные согласно (2.1) и (2.2), весьма мало отличаются друг от друга, а начальная и установившаяся скорости, а также общая затухающая доля деформации ползучести (при $t \neq 0$) у них совпадают и соответственно равны

$$\frac{\partial \varepsilon_r}{\partial t} \Big|_{t=0} = \alpha + \beta\gamma, \quad \frac{\partial \varepsilon_e}{\partial t} \Big|_{t \rightarrow \infty} = \alpha, \quad \lim_{t \rightarrow \infty} [\varepsilon_e(t) - \alpha t] = \beta$$

Параметры ползучести α , β и γ для каждой рассматриваемой пары значений T и σ определялись из экспериментальных кривых ползучести при постоянных T и σ следующим образом. Параметр α брался равным угловому коэффициенту соответственной кривой во второй стадии ползучести. Параметр β брался равным отрезку, отсекаемому от оси ординат касательной к кривой ползучести во второй ее стадии. Параметр γ определялся путем подбора.

3. О теоретических предпосылках

Теоретические предпосылки здесь рассматриваются в свете обобщения уравнения ползучести при постоянных температуре и осевом растяжении на случай переменных напряжений и температур.

а) *Гипотеза уравнения состояния.* Согласно гипотезе уравнения состояния [7], между скоростью ползучести $\frac{\partial \varepsilon_c}{\partial t}$, деформацией ползучести ε_c , температурой T и напряжением σ существует однозначная связь:

$$\Phi \left(\frac{\partial \varepsilon_c}{\partial t}, \varepsilon_c, T, \sigma \right) = 0 \quad (3.1)$$

где Φ —функция четырех аргументов, берущихся соответствующими рассматриваемому моменту времени.

В применении к (2.2) уравнение (3.1) запишется так

$$\frac{\partial \varepsilon_c}{\partial t} = \alpha + \beta_1 \left(1 + \frac{\beta_1 \gamma_1}{\alpha} \right)^{-\frac{\varepsilon_c}{\beta_1}} \quad (3.2)$$

При условиях

$$\begin{aligned} \varepsilon_c(t) &= \varepsilon_0, & T(t) &= T_0 & \text{при } t < t_0 \\ \varepsilon_c(t) &= \varepsilon_1, & T(t) &= T_1 & \text{при } t > t_0 \end{aligned} \quad (3.3)$$

из уравнения (3.2) получим

$$\begin{aligned} \varepsilon_c(t) &= \frac{\beta_1}{\ln \left(1 + \frac{\beta_1 \gamma_1}{\alpha} \right)} \ln \left[\left(1 + \frac{\beta_1 \gamma_1}{\alpha} \right)^{\frac{\varepsilon_c(t_0)}{\beta_1}} + \right. \\ &\quad \left. + \frac{\beta_1 \gamma_1}{\alpha} \right] \left(1 + \frac{\beta_1 \gamma_1}{\alpha} \right)^{\frac{\varepsilon_c(t-t_0)}{\beta_1}} - \frac{\beta_1 \gamma_1}{\alpha}, \quad t > t_0 \end{aligned} \quad (3.4)$$

где β_1 , γ_1 и α берутся соответствующими ε_1 и T_1 , а $\varepsilon_c(t_0)$ —деформация ползучести при ε_0 и T_0 , определяемая по формуле (2.2).

б) *Вариант теории Малинина-Хажинского [8].* Согласно этой теории, действующее напряжение $\sigma(t)$ представляется в виде

$$\sigma(t) = s(t) + \varphi(t) \quad (3.5)$$

где $s(t)$ —активное напряжение, определяющее скорость деформации в рассматриваемый момент, $\varphi(t)$ —дополнительное напряжение, увеличивающееся с ростом деформаций ползучести

$$\frac{\partial \varepsilon_c}{\partial t} = F(s, T) \quad (3.6)$$

$$d\varphi = A(T, s, \varepsilon_c) d\varepsilon_c$$

Попытки конкретизировать функции F и A так, чтобы при постоянных температуре и напряжении уравнения (3.5) и (3.6) выражались в (2.1) или (2.2), не приводят к успеху.

В работе [12] приводятся функции F и A , позволяющие получить аналитическое выражение для обратной ползучести, для построения же кривой ползучести при постоянных напряжениях авторы предлагают шаговый метод.

Рассмотрим уравнения (3.7)

$$\begin{aligned} \frac{\partial \varepsilon_c}{\partial t} &= B(\varepsilon, T)(\varepsilon - \varphi) && \left(\text{случай нагружения} \right. \\ d\varphi &= A(\varepsilon, T)[\varepsilon - \varphi - \varepsilon k(\varepsilon, T)] d\varepsilon_c && \left. \frac{\partial \varepsilon}{\partial t} \geq 0 \right) \end{aligned} \quad (3.7)$$

отличающиеся от (3.6) тем, что здесь скорость ползучести определяется как активной составляющей, так и всем напряжением. Принимая

$$A = \frac{\ln \left(1 + \frac{\beta_1}{\alpha} \right)}{\beta_1}, \quad B = \frac{\alpha + \beta_1}{\alpha}, \quad k = \frac{\alpha}{\alpha + \beta_1}$$

после интегрирования (3.7) для постоянных ε и T получим (2.2). При условиях (3.3), в предположении $\varepsilon_1 \geq \varepsilon_0$, из (3.7) для $t \geq t_0$ получим

$$\begin{aligned} \varepsilon_c(t) &= \frac{1}{A_0} \ln \left(\frac{1}{k_0} e^{A_0 B_0 \varepsilon_0 k_0 t_0} - \frac{1}{k_0} + 1 \right) + \\ &+ \frac{1}{A_1} \ln \left[\frac{\varepsilon_1 - \varphi_0}{k_1 \varepsilon_1} (e^{A_1 B_1 k_1 \varepsilon_1 (t-t_0)} - 1) + 1 \right] \end{aligned} \quad (3.8)$$

где

$$\varphi_0 = \frac{\sigma_0 \beta_{010}}{\alpha_0} \left[1 + \frac{\beta_{010}}{\alpha_0} + \frac{1}{\left(1 + \frac{\beta_{010}}{\alpha_0} \right)^{\frac{\alpha_0 t_0}{\beta_{010}}} - 1} \right]^{-1}$$

а индексы при A , B , k , α , β и γ взяты соответственными (3.3).

В случае разгрузки уравнения ползучести запишем в виде

$$\begin{aligned} \frac{\partial \varepsilon_c}{\partial t} &= B_m (\varepsilon_m - \varphi_m)^{1-\gamma} |\varepsilon - \varphi|^\gamma \operatorname{sign}(\varepsilon - \varphi) && \left(\text{случай разгрузки} \right) \\ d\varphi &= A_p \left[1 - \left(\frac{k}{1-k} \left| \frac{\varphi}{\varepsilon - \varphi} \right| \right)^\gamma \operatorname{sign} \left(\frac{\varphi}{\varepsilon - \varphi} \right) \right] d\varepsilon_c \end{aligned} \quad (3.9)$$

где

$$A_p = A_m \frac{\sigma_m (1 - k_m) - \varphi_m}{1 - \left(\frac{k_m}{1 - k_m} \frac{\varphi_m}{\varepsilon_m - \varphi_m} \right)^\gamma}$$

B_m , A_m , k_m и φ_m — значения B , A , k и φ в момент, когда напряжение ε достигает своего максимального значения ε_m . Уравнения (3.9) интегрируются для полной разгрузки ($\varepsilon_1 = 0$), в остальных же случаях теоретические кривые строятся шаговым методом.

в) *Видоизмененное уравнение нелинейной теории наследственности.* Распространяя общепринятые принципы построения формулы наследственной ползучести для случая переменных температур на (2.1), получим

$$\varepsilon(t) = \int_0^t \alpha[\varepsilon(\tau), T(\tau)] d\tau + \int_0^t \beta[\varepsilon(\tau), T(\tau)] \gamma[T(\tau)] e^{-\eta[T(\tau)(t-\tau)]} d\tau \quad (3.10)$$

Согласно (3.10), при понижении температуры в процессе испытания на ползучесть должны произойти деформации обратной ползучести, что на самом деле не имеет места и приводит к существенным расхождениям с экспериментальными данными [5]. Вследствие этого уравнение (3.10) заменим ниже следующим:

$$\begin{aligned} \varepsilon_c(t) = & \int_0^t \alpha[\varepsilon(\tau), T(\tau)] d\tau + \\ & + \int_0^{\theta} \beta[\varepsilon(\tau+t-\theta), T(\tau+t-\theta)] \gamma[T(\tau+t-\theta)] e^{-\eta[T(\tau)(\theta-\tau)]} d\tau \quad (3.11) \end{aligned}$$

где θ —сумма промежутков времени, в течение которых температура в образце не меньше максимально достигнутой к этому времени: иначе говоря, начиная с момента, когда температура достигла наибольшего значения и стала уменьшаться, второй член в (3.11) перестает изменяться во времени ($d\theta = 0$), и деформации затухающей ползучести "замораживаются" вплоть до достижения температурой вновь этого же наибольшего значения, после чего $d\theta = dt$.

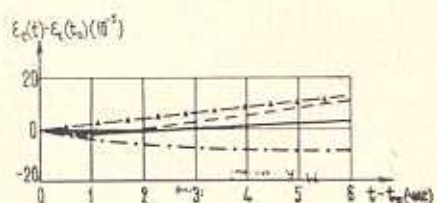
4. Результаты экспериментальных исследований

Как указывалось в [7], рекомендуемым способом проверки теорий ползучести являются испытания на ползучесть при ступенчатом изменении напряжений и температур. При этом наиболее контрастные результаты ожидаются при уменьшении напряжения и одновременном повышении температуры, и наоборот.

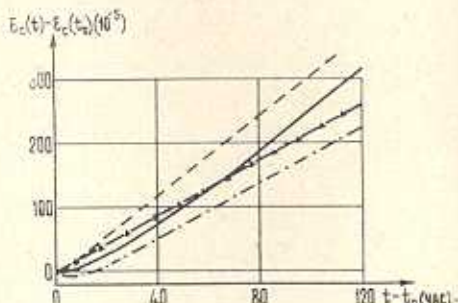
Ниже приведены экспериментальные данные о ползучести при двухступенчатом изменении напряжений и температур (сплошные линии) в сравнении с кривыми, построенными согласно (3.4) (штриховые линии с треугольниками), (3.11) (штриховые линии с пунктирами) и (3.8) или (3.9) (штриховые линии). При этом значения β , γ и α , фигурирующие в этих формулах, брались из соответствующих экспериментов при постоянных напряжениях и температурах. Построение же теоретической кривой, согласно (3.9), в которой принималось $\nu = 0.2$, осуществлялось следующим образом. Начиная с момента t_0 , ось времени делилась на полчасовые промежутки, в течение которых приблизенно скорость ползучести принималась постоянной. Затем в момент t_0 определялось $\frac{\partial \varepsilon}{\partial t}$ при $\varphi = \varphi_m$ и в конце 1-го промежутка вы-

числялось приращение ρ по второй формуле (3.9), где дифференциалы заменялись приращениями; в начале второго промежутка принималось новое ρ с учетом приращения в первом промежутке и определялось $\frac{d\varepsilon}{dt}$, соответствующее второму промежутку. Эта операция осуществлялась последовательно для каждого промежутка вплоть до момента t . Кривая же строилась по наклону касательной $\frac{d\varepsilon}{dt}$.

На фиг. 1 и 2 приведены данные о ползучести при температуре 700°C и при напряжении 0.15 R после длительной ползучести при 650°C и при напряжении 0.2 R*. Как показано на фиг. 1, в течение почти одного часа после изменения напряжения и температуры имеет место обратная ползучесть, и это совпадает с предсказанием (3.9), в то время как согласно гипотезе состояния (3.4) обратная ползучесть отрицается и предсказывается течение с постоянной скоростью, соответствующей второй стадии ползучести при действующих напряжениях и температуре. Согласно наследственной теории (3.11), обратная ползучесть должна была происходить примерно 6 часов с достижением значительно больших деформаций по отношению к действительным.



Фиг. 1



Фиг. 2

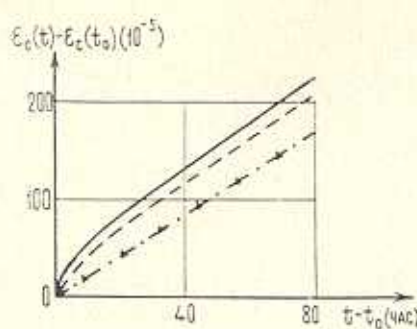
Как следует из данных фиг. 2, на второй ступени нагружения и нагрева имеет место асимптотическое стремление скорости ползучести к своему предельному наибольшему значению; это предсказывается и каждой из рассматриваемых теорий, однако, согласно (3.4) и (3.11), предельное значение скорости ползучести равно $\alpha(\sigma_1, T_1)$, в то время как, согласно (3.9), оно достигает $\alpha(\sigma_0, T_0) \left[\frac{\alpha(\sigma_0, T_0)}{\alpha(\sigma_1, T_1)} \right]^{0.8} \times \left[\frac{\sigma_1}{\sigma_0} \cdot \frac{\alpha(\sigma_0, T_0) + \beta(\sigma_0, T_0) \gamma(T_0)}{\alpha(\sigma_1, T_1) + \beta(\sigma_1, T_1) \gamma(T_1)} \right]^{0.2}$, превосходящее $\alpha(\sigma_1, T_1)$, причем предельное значение скорости ползучести, согласно (3.9), оказывается значительно ближе к экспериментальному. Отметим также, что во вся-

* Под термином "длительная ползучесть" здесь подразумевается практическое достижение второй стадии ползучести.

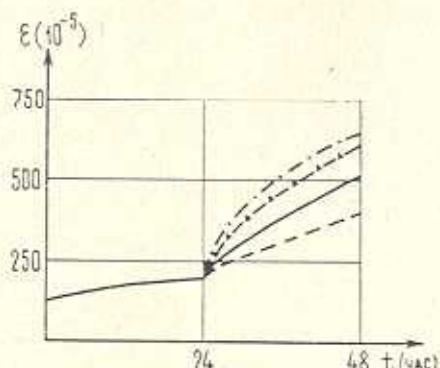
ком случае в пределах 100 часов после изменения напряжения и температуры, как видно из фиг. 2, наименьшее абсолютное расхождение с экспериментальной кривой дает теоретическая кривая гипотезы уравнения состояния (3.4), однако при более длительной ползучести предпочтение можно дать уравнениям (3.9).

На фиг. 3 приведены данные о ползучести при напряжении $0.2R$ и температуре 650°C после длительной ползучести при напряжении $0.15R$ и температуре 700°C . Предсказание о практической постоянной скорости ползучести не подтверждается экспериментами. Из рассмотренных теорий возврат I стадии ползучести описывается лишь уравнениями (3.8), дающими наименьшее расхождение с экспериментальной кривой. Величина установившейся скорости ползучести, согласно рассмотренным теориям, определяется здесь лишь значениями действующих на данной ступени напряжения и температуры, что подтверждается экспериментом.

Согласно (3.8), величина скорости ползучести тем ближе к значению установившейся скорости, чем меньше различие между ρ и $\sigma(1-k)$, независимо от того, при каких условиях происходило изменение ρ , что, несомненно, является определенным допущением. На наш взгляд, допущение это будет наиболее контрастно проявляться при изменении температуры, но при постоянном напряжении; в этом случае изменение дополнительного напряжения ρ определяется лишь изменением убывающей функции $k(T)$.



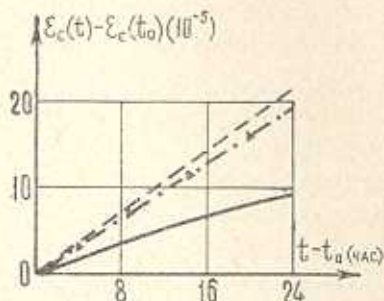
Фиг. 3



Фиг. 4

На фиг. 4 приведены данные о ползучести при напряжении $0.25R$ и повышении температуры от 600° до 650°C . Кривые ползучести, построенные согласно наследственной теории и гипотезе уравнения состояния, как это систематически имело место после дегрузки при изотермической ползучести [8], дают расхождение с экспериментальной кривой в сторону большего роста скорости ползучести. Кривая ползучести, построенная согласно (3.8), дает, наоборот, примерно такое же расхождение с экспериментальной кривой, но в сторону меньшего роста скорости ползучести.

Исследования ползучести при 600°C и при напряжении $0.25 R$ после 24-часовой ползучести при 650°C и при том же напряжении иллюстрированы на фиг. 5, откуда видно, что обратная ползучесть здесь не имеет места. Все рассмотренные теории предсказывают примерно



Фиг. 5

в два раза большую деформацию ползучести, чем получено экспериментально, однако и сами деформации ползучести здесь весьма малы.

В заключение отметим, что, судя по сравнению приведенных экспериментальных данных с теоретическими, видимо, некоторое предпочтение можно дать варианту теории Малинина-Хажинского.

Институт механики
АН Армянской ССР

Поступила 15 VII 1971

Ա. Մ. ՍԻՄՈՆՅԱՆ

ՔՐՈՄՆԻԿԵԼԱՅԻՆ ՓՈՂԳՈՎԻՑԻ ԱԶ ԻՇՈԹԵՐՄ ՍՈՂՔԻ ՀԱՐՑԻ ՄԱՍԻՆ

Ա. Մ. Փ Ո Գ Ո Ւ Թ

Աշխատանքում դիտարկվում են ոչ իզոթերմ սողքի տարրեր տեսություններ էնդրեյդի սխեմայի կիրառման մեջ:

Չժանգություղ պողպատի համար բերվում է տեսական և էքսպերիմենտալ տվյալների համեմատում՝ լարման և զերմաստիճանի միաստիճանային փոփոխման դեպքում:

ON NON-ISOTHERMAL CREEP OF CHROME-NICKEL STEEL

A. M. SIMONIAN

S u m m a r y

The study is concerned with various theoretical premises of non-isothermal creep in terms of the Andrade scheme. Theoretical and experimental data for the case of single-step variations in stress and temperature are compared.

Л И Т Е Р А Т У Р А

1. Иванова Г. М. Ползучесть сплава ЭИ—437Б при переменных температурах. Известия АН СССР, ОТН, 4, 1958.
2. Taira S., Ohnami M. Creep under rapid cycling temperatures. Proc. 3-rd Japan. Congr. Testing Mater. Kyoto, 1960.
3. Nishihara T., Taira S., Tanaka K., Ohnami M. Experimental study on the relationship between creep rate determining factors of low carbon steel. Techn. Rep. Eng. Res. Inst. Kyoto Univ., т. 8, № 2, 1958.
4. Dorn J. E. Some fundamental experiments on high-temperature creep. Journ. Mech. Phys. Solids, т. 3, № 2, 1955.
5. Симонян А. М. Исследование ползучести стали X18H10T при переменных температурах. Известия АН АрмССР, Механика, т. XXV, № 2, 1972.
6. Кочанов Л. М. Теория ползучести. Физматгиз, М., 1960.
7. Работнов Ю. Н. Ползучесть элементов конструкций. Наука, М., 1966.
8. Малинин Н. Н., Хажинский Г. М. К построению теории ползучести с анизотропным упрочнением. МТТ, № 3, 1969.
9. Наместников В. С. О ползучести при переменной температуре в условиях сложного напряженного состояния. ИМТФ, № 4, 1964.
10. Симонян А. М. Экспериментальное исследование ползучести нержавеющей стали X18H10T при 600°C. Известия АН АрмССР, Механика, т. XXII, № 6, 1969.
11. Гарофало Ф. Законы ползучести и длительной прочности металлов. Металлургия, М., 1968.
12. Бойков В. И., Бойцов Ю. И., Малинин Н. Н., Хажинский Г. М. Высокотемпературная ползучесть сплава ЭИ—437Б при различных режимах нагружения. Известия ВУЗов, Машиностроение, № 9, 1969.